

## 斜面-河道系流域の洪水到達時間（続）

神戸大学工学部 正員 神田 徹  
 神戸大学工学部 正員 神吉 和夫  
 川崎製鉄 正員 吉岡 泰邦  
 神戸大学大学院 学生員 ○田中 優行

## 1. まえがき

本研究では、図1に示すような河道とその両側に斜面をもつ流域を対象として、降雨の非定常性がピーク流出特性、すなわち洪水到達時間およびピーク流出量に及ぼす影響について検討する。また、この流域を対象とした洪水到達時間推定法を提案し、その妥当性を調べる。

## 2. 洪水到達時間と平均降雨強度の関係

図2に示す三角波形降雨に対して、河道下流端( $X=L$ )でのピーク流出量 $Q_p$ の発生時刻 $T_{2P}$ とその特性曲線の斜面上流端( $x=0$ )での出発時刻 $t_{1t}$ の時間間隔を洪水到達時間 $T_t$ と定義する。

$$T_t \equiv T_{2P} - t_{1t} \quad (1)$$

$T_t$ と $T_t$ 時間内の平均降雨強度 $R_{m,p}$ の関係を数値計算によって求め、プロットしたものが図3である。なお、斜面流、河道流に対する基礎式： $h = k q^\alpha$ 、 $W = K Q^P$ の定数 $p$ 、 $k$ 、 $P$ 、 $K$ の値は $p=0.6$ 、 $P=0.7$ 、 $k=1.25$ 、 $K=1.0$ とし、流域面積 $A$ 、斜面長と河道長の比 $b/L$ はHackの法則に従うものとして、 $A=1\text{km}^2$ に対して $b/L=0.25$ 、 $A=10\text{km}^2$ に対して $b/L=0.15$ 、 $A=100\text{km}^2$ に対して $b/L=0.10$ とした。図中の実線は、定常降雨( $R_{m,p}$ に等しい一定降雨強度 $r$ )に対する洪水到達時間 $T_{t,0}$ ～降雨強度 $r$ の関係を示す。この実線とプロットされた点との差が、降雨の非定常性の影響である。

## 3. 降雨の非定常性の影響

降雨の非定常性が洪水到達時間およびピーク流出量に及ぼす影響を定量評価するために、次の指標をとり定常降雨との差を調べる。

$$E_t = (T_t - T_{t,0}) / T_{t,0} \quad (2)$$

$$E_q = (Q_p - Q_{p,0}) / Q_{p,0} \quad (3)$$

ここに、 $Q_{p,0}$ は定常降雨の場合のピーク流出量( $=2r_0 bL$ )。

$t_r$ に対する $T_{c1}$ 、 $T_{c2}$ の比をそれぞれ $M = T_{c1}/t_r$ 、

$N = T_{c2}/t_r$ と表わすとき、このパラメータ $M$ と $E_t$ 、 $E_q$ の関係を図4に示す。この図より、 $E_t$ 、 $E_q$ とともに $M$ が増加すると増大し、流域形状( $A$ 、 $b/L$ )や降雨波形( $t_r$ 、 $r_p$ )にほとんど無関係に $M$ のみに関係することがわかる。そこで、一定の $A$ 、 $b/L$ において、 $t_r$ と $r_p$ に対する $M$ の値を示したもののが図5である。 $M$ が0.3以下となる降雨波形( $t_r$ と $r_p$ の組合せ)は実際によく観測されるが、その降雨に対して $E_t$ は5～6%であるからこの差はほぼ無視でき、定常降雨の場合と等しい洪水到達時間を与える。また、ピーク流出量に関しては、 $E_q$ は10%強の差があり降雨の非定常性の影響は無視できないが、 $M$ が0.2以下の波形では数%となり、 $Q_p$ は定常降雨の場合のピーク流出量 $Q_{p,0}$ を近似することができる。

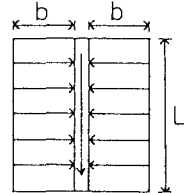


図1 斜面-河道流域

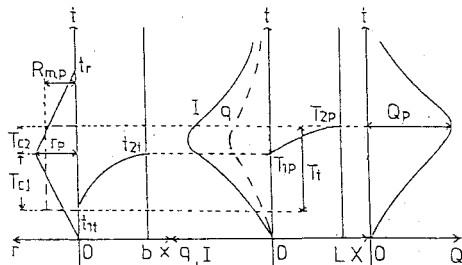
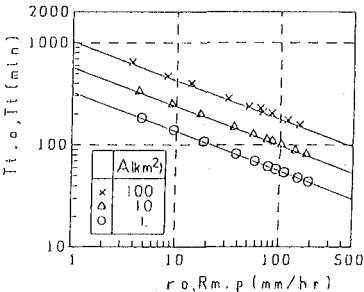


図2 洪水到達時間の定義

( $p=0.6$ ,  $P=0.7$ )

図3  $T_t \sim R_{m,p}$  の関係

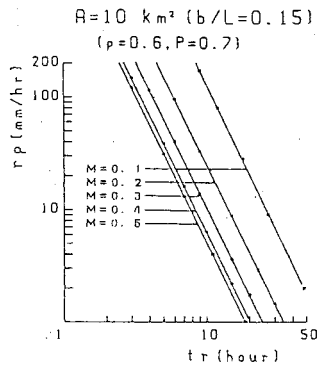


図4  $t_r \sim r_p$  の関係

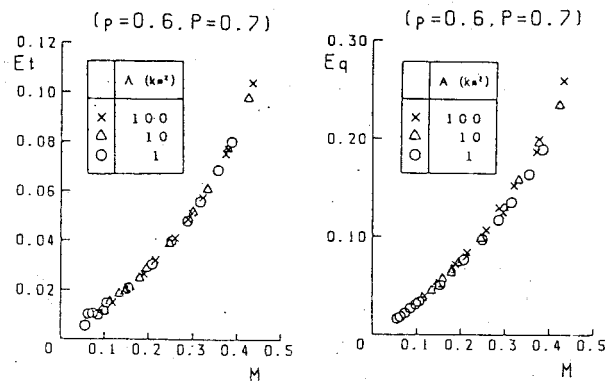


図5  $M \sim E_t, E_q$  の関係

### 3. 洪水到達時間の推定法

$T_t$ をパラメータM, Nを用いて表わせば,

$$T_t = (1 + M/N) T_{c2} \quad (4)$$

ここで、 $M/N$ が定数として与えられれば、

ハイエトグラフとハイドログラフのピーク時間間隔 $T_{c2}$ の定数倍として $T_t$ を求めることができる。Mと $M/N$ の関係を示したもののが、図6である。図中の実線は、河道を含まない斜面のみの流域における $p = 0.6$ のときの $m \sim m/n$ の関係である。この図より、Mに対して $M/N$ はほぼ一定値をとるといえる。そこで、各 $p$ 値に対して $M/N$ の値を図示したのが図7である。ここで、

$(M/N)_{0.1}$ は $M = 0.1$ のときの $M/N$ 値、 $(M/N)_{0.4}$ は $M = 0.4$ のときの

$M/N$ 値、 $(M/N)_{mean}$ は $M = 0.1, 0.2, 0.3, 0.4$ に対する $M/N$ の平均値である。よって、式(4)と図7より $T_t$ を推定することができる。また、 $R_{m,p}$ は水平分離法によって算出した直接流出量 $Q_p = A R_{m,p}$ により逆算する。

上述のような $T_t \sim R_{m,p}$ 関係の推定法について検証を行う。図8

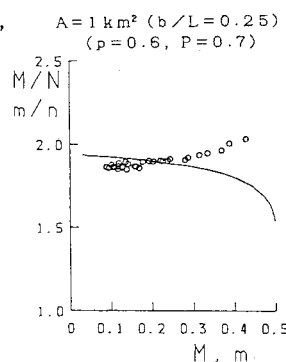


図6  $M \sim M/N$  の関係

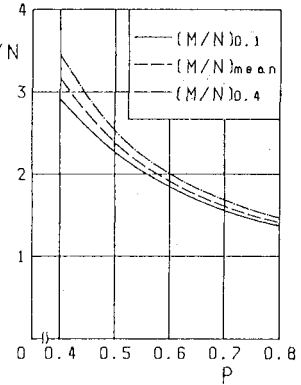


図7  $p \sim M/N$  の関係

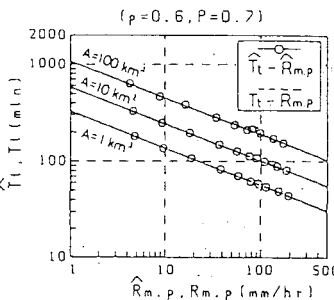


図8 理論値との比較

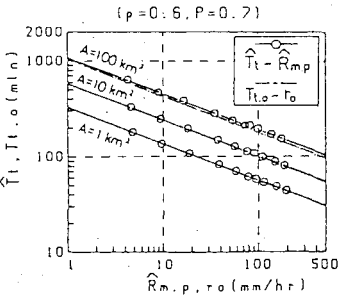


図9 定常降雨との比較

に、基礎式から数値計算によって求めた $T_t \sim R_{m,p}$ 関係との比較を示す。この $T_t \sim R_{m,p}$ の関係は厳密には一直線上には並ばないので、その回帰直線を示す。この図より、推定値 $\hat{T}_t \sim \hat{R}_{m,p}$ と理論値 $T_t \sim R_{m,p}$ はほぼ一致するといえる。また、図9に定常降雨の場の $T_{t,o} \sim r_o$ 関係との比較を示す。この図においても、推定値 $\hat{T}_t \sim \hat{R}_{m,p}$ 関係と $T_{t,o} \sim r_o$ 関係はほぼ一致するといえる。これらの結果から、上述の方法で推定した洪水到達時間～降雨強度関係は定常降雨の場合の両者の関係を実用上十分の精度で推定することができる。

参考文献：1) 神田・神吉・元木沢・黒沢：斜面－河道系流域の洪水到達時間 第43回年次学術講演会、1988。